

北海道大学工学部

学生員

小野 茂信

正員

藤田 嘉夫

"

中津川 玲

1. まえがき

鉄筋コンクリート桁に曲げとねじりによる組合せ応力が作用すると、ひびわれ発生荷重、変形および破壊等動は曲げ荷重のみの場合に比較して大きな違いがある。これは曲げのみの荷重の場合、中立軸を境界として圧縮ゾーンと引張ゾーンが分離していられるために複合材として安定しているのに対し、ねじり荷重が作用すると、併せて引張応力が生じ、ひびわれ発生伝播等動が不安定になるためと考えられる。一般にRC桁は曲げとねじりの連成作用によって、ひびわれ発生が早くなり、耐久性および変形剛性に大きな影響を及ぼす。又、ひびわれ発生後の等動は主鉄筋、腹鉄筋によって左右され、それと同時に圧縮部コンクリートの等動も重要な要素となっている。本研究では、曲げモーメントとねじりモーメントの組合せ応力を作用する載荷法、1点載荷によって卓越した曲げ剪断力とねじりモーメントを作用させ、2種類の方法によって実験を行なった。これによってひびわれ発生時および最大ひびわれ巾 $0.05, 0.10, 0.15$ および 0.20 mm になった時の腹鉄筋応力および圧縮部コンクリートのねじり荷重の分担性状について、トラス理論および各国の算定式と比較しながら検討を行なった。

2. 供試体および実験方法

実験桁は図-1に示すように矩形断面を持つ单筋桁（配筋用にΦ6の焼なまし鋼線を用いている）で、曲げ荷重に対して単純支持、ねじり荷重に対して片持ち梁の状態で載荷した。供試体の材料は、セメントは普通ポルトランドセメント、砂は綿岡海岸砂（比重2.78、単位容積重量1706kg、吸水量1.02%）、砂利は静内川砂利（比重2.78、単位容積重量1747kg、吸水量1.06%）を用いた。配合はW/C=0.43、G/S=1.23で作製し、約1週間湿潤養生し、脱型後試験日まで20°Cの木槽で養生した。材令は約28日である。主鉄筋および腹鉄筋は、SD35の異形鉄筋を用い、主鉄筋は2D16および2D19、ピッチ比は、10, 15, 20cmの3種類を用いた。載荷は2点載荷にねじり荷重を作用させた桁（Mシリーズ）、および1点載荷（ $a/d = 0.273$ ）で曲げせん断を顕著にして、

ねじり荷重を載荷させた桁（Sシリーズ）の2種類とした。載荷順序は、O→M→T→M+T、を1サイクルとして、曲げ荷重のみを増加させ、Tを一定にしてこのサイクルを繰返し、曲げ破壊させた。測定は、主鉄筋、腹鉄筋、および圧縮コンクリートの歪、桁のたわみ、ねじり角、主鉄筋位置でのひびわれ巾、またSシリーズでは圧縮部（上面より下方4cm）でのしづれ巾とも測定を行なった。各桁の圧縮強度 C_b 、割裂引張強度 C_t 、主鉄筋比 $P = A_s/bd$ 、スターラップの鉄筋比 $P_w = \frac{2A_w(b+d)}{bdh}$ 、純曲げ強度 M_b に対する破壊曲げモーメント M_b^* の比、純ねじり強度 T_b に対するねじり荷重Tの比が表-1に示してある。

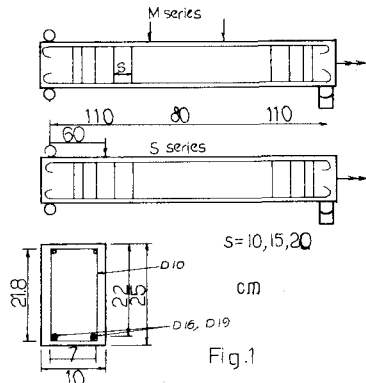


表-1

	C_b	C_t	P	P_w	M_b^*	T	M_b/M_b^*	T/T_b
R15 1M	332	34.9	1.737	1252	26840	0.156	0.955	0.0411
	432	33.6	1.726	1878	26540	0.260	0.910	0.0684
R20 1M	376	33.5	1.723	0.939	28190	0.156	0.974	0.0479
	380	28.0	1.748	"	30110	0.208	0.952	0.0638
	369	30.4	1.749	"	26130	0.260	0.894	0.0798
R10 1S	444	31.4	1.828	1878	29280	0.156	0.813	0.320
	349	30.6	1.728	"	25290	0.260	0.906	0.533
	368	31.4	2512	"	42000	0.260	0.923	0.533
R15 1S	368	30.6	1.725	1252	28800	0.156	0.968	0.0411
	350	30.3	1.750	"	27120	0.260	0.889	0.0684
	359	31.2	2526	"	39840	0.260	1.006	0.638
R20 1S	403	33.9	1.728	0.939	27600	0.156	0.985	0.0479
	341	32.5	1.743	"	26640	0.208	0.895	0.0638
	355	32.1	2517	"	47720	0.260	0.914	0.798

3. 実験結果および考察

R 15-1M 写真 1

4

MおよびSシリーズのひびわれ性状の一例を写真1、2に示した。Mシリーズのひびわれはあら荷重まで荷重方向に平行に伸び、スターラップの応力はあまり発生しない。その後ひびわれ方向は傾き、スターラップに応力が生じてくる。これをひびわれ中との関係に示したのが図2,aである。これに対してSシリーズは初めからひびわれが顕著に現われ、図2,bに示す

すようにスターラップの応力は大きい。図3に最大ひびわれ幅 W_{max} とスターラップの応力度について示してあるが、ひびわれ発生時(コンタクトケージの競合の差が 10μ , このケージ間隔では 250×10^3 の正であり)、ひびわれが光学的に発見された。)では、スターラップには応力は生じない。この時の弾性解によるコンクリートの最大引張主応力は $30 \sim 50 \text{ kg/cm}^2$ であつた。 W_{max} が増すにつれて、ピッチ比が小さくなるほど、ねじり荷重が大きくなるほど、応力は大きくなっている傾向を示すが、あまり大きな違いはない。すなわちコンクリートの圧縮部でねじり荷重を分担していると推測される。図4には実験より求めたスターラップの応力度からトラス理論によって、ねじりモーメントの分担率 T_w/T を示しているが、スターラップでは $W_{max} = 0.2$ の状態で 1 ~ 4割 ($P_w = 0.939 \sim 1.252\%$) を分担し、この 9 ~ 6割 ($P_w = 0.939 \sim 1.252\%$) は、圧縮部コンクリートで分担していることがわかる。

ねじりによるコンクリートの分担を考慮した、純ねじりの Cowan, Hsu の式が、 $T_w \approx 1$ 近傍にあり、この式が有効であることがわかつ。図5にSシリーズの各荷重段階におけるひびわれ中の状況を示した。主筋筋位置では、約 $0.1 M_0$ でひびわれが発生するのに対し、圧縮部でも $0.3 M_0$ でひびわれが生じ、斜面とひびわれが突き抜けたと考えられる。このため図6に示すように、コンクリートの分担を無視したトラス理論で、スターラップの応力を、曲げせん断 σ_{ws} 、ねじりせん断 σ_{wt} について求め、実験値によるスターラップの応力 σ_w との比を求めると、 W_{max} が大きくなるにつれて 1.0 に近づいてははトラス理論に近いことを示してある。ピッチ比が小さくなる傾向がよく現われ、ピッチ比が大きくなるトラス理論によるねじりの分担に適合しない状態に近づいていくと言えられる。

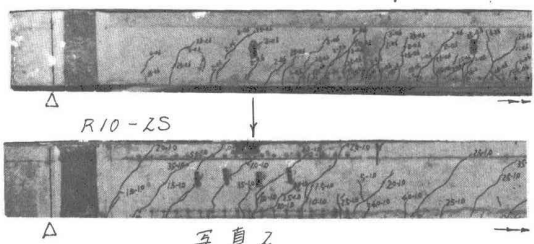


写真2

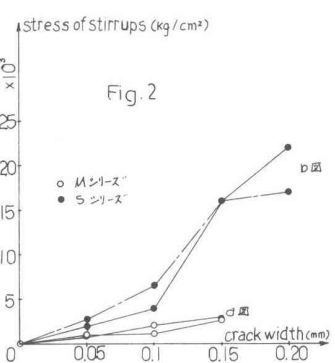


Fig. 2

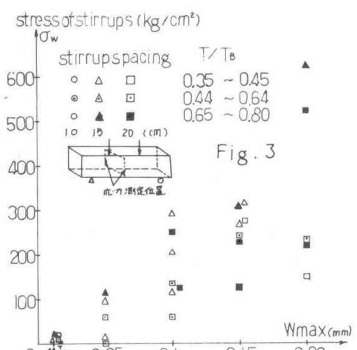


Fig. 3

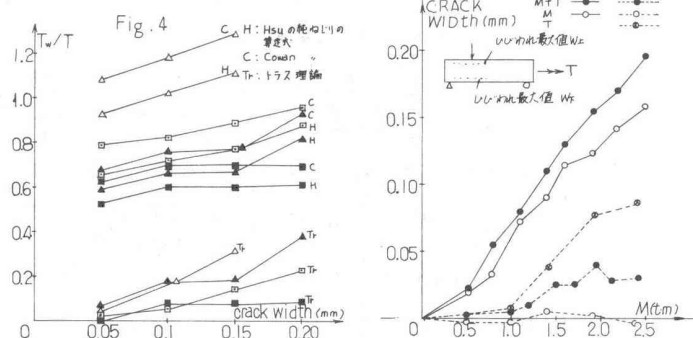


Fig. 4

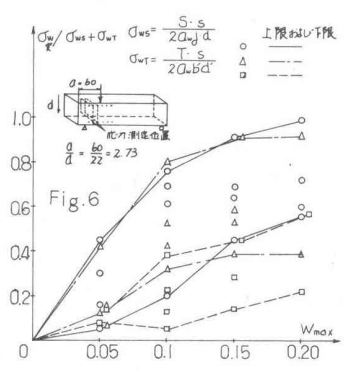
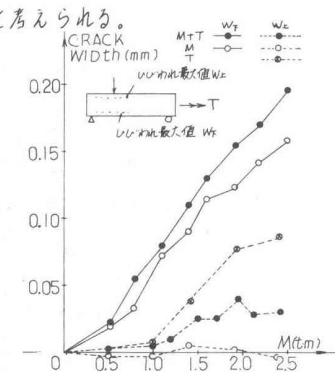


Fig. 6